

量子コンピュータの基礎と検証

参考文献:

- Phys. Rev. X **8**, 021060 (2018)
- npj Quantum Inf. **5**, 27 (2019)
- New J. Phys. **21**, 093060 (2019)
- Quantum **6**, 758 (2022)
- Phys. Rev. A **106**, L010601 (2022)

竹内 勇貴

NTT コミュニケーション科学基礎研究所
NTT 理論量子情報研究センター

2024年3月4日 09:40 – 10:40

日本応用数学会
第20回研究部会連合発表会

TAKE-HOMEメッセージ

量子コンピュータは古典コンピュータ**以上の**
計算能力が理論的に証明されている

しかし、

現在の量子コンピュータの実装・運用方法では
エラー確率が高い



量子計算中のエラーの有無は
「**量子計算の検証**」で効率的に判定可能

TAKE-HOMEメッセージ

1st Part

量子コンピュータは古典コンピュータ**以上**の
計算能力が理論的に証明されている

しかし、

現在の量子コンピュータの実装・運用方法では
エラー確率が高い



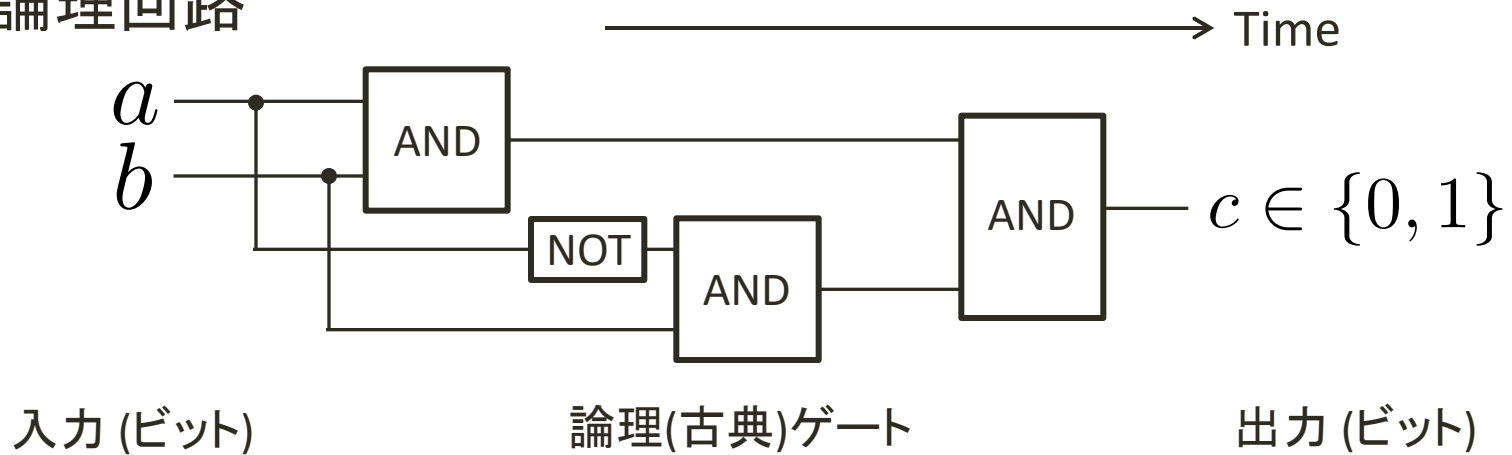
2nd Part

量子計算中のエラーの有無は
「**量子計算の検証**」で効率的に判定可能

1. 量子コンピュータの基礎

古典コンピュータ

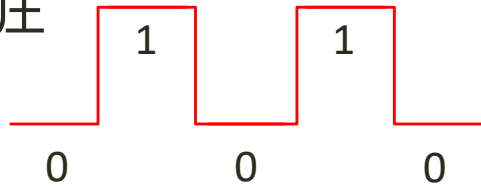
■ 論理回路



ビット: 古典情報の最小単位

$$a, b \in \{0, 1\}$$

例) 電圧



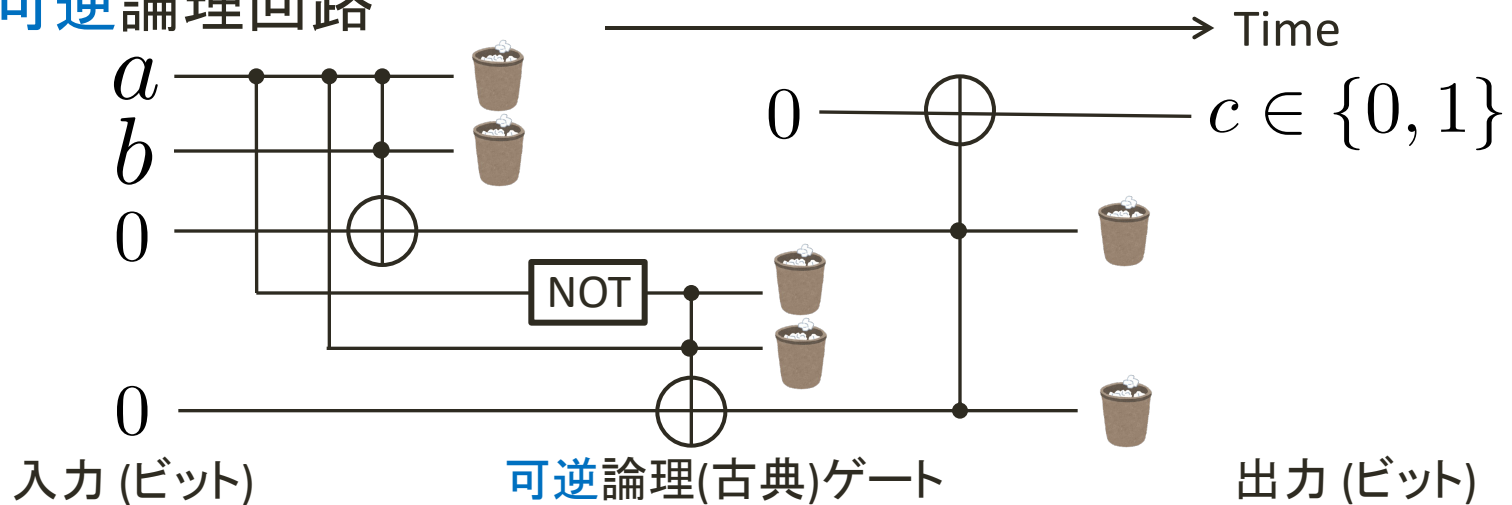
ユニバーサルゲートセット

入力 a	出力 $\neg a$
0	1
1	0

入力 (a, b)		出力 $a \wedge b$
0	0	0
0	1	0
1	0	0
1	1	1

古典コンピュータ

■ 可逆論理回路



可逆ユニバーサルゲートセット

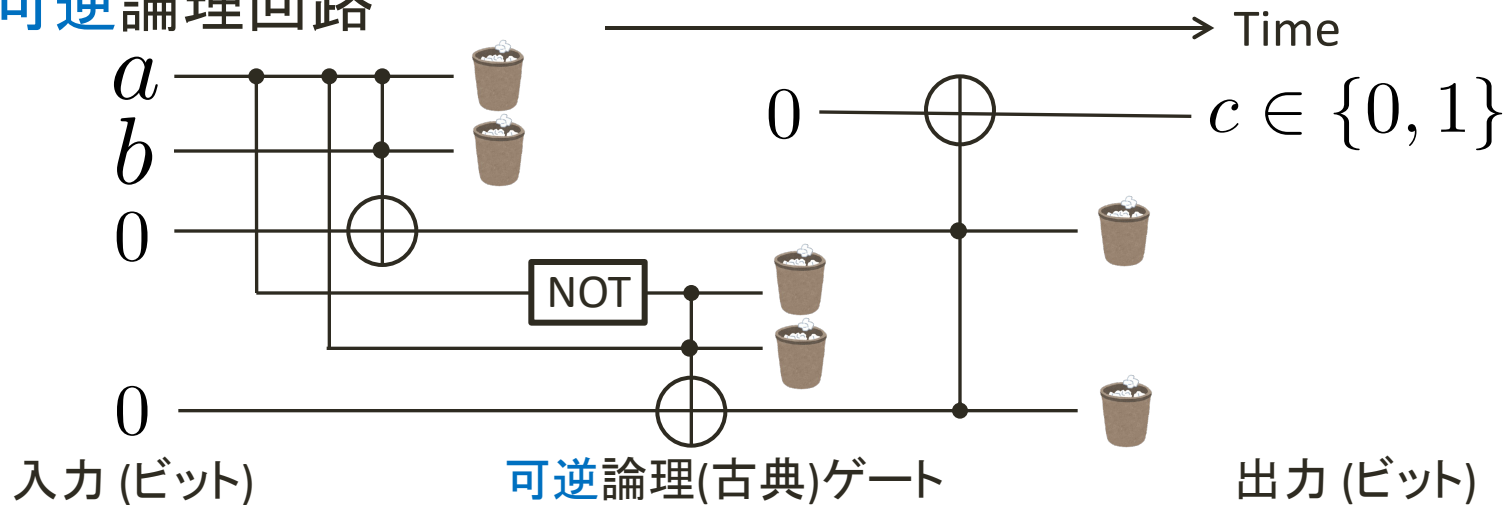
NOTゲート + トフオリゲート

入力 a	出力 $\neg a$
0	1
1	0

入力 (a, b, c)			出力
0	0	0	000
0	0	1	001
0	1	0	010
0	1	1	011
1	0	0	100
1	0	1	101
1	1	0	111
1	1	1	110

古典コンピュータ

■ 可逆論理回路



可逆ユニバーサルゲートセット

NOTゲート + トフオリゲート

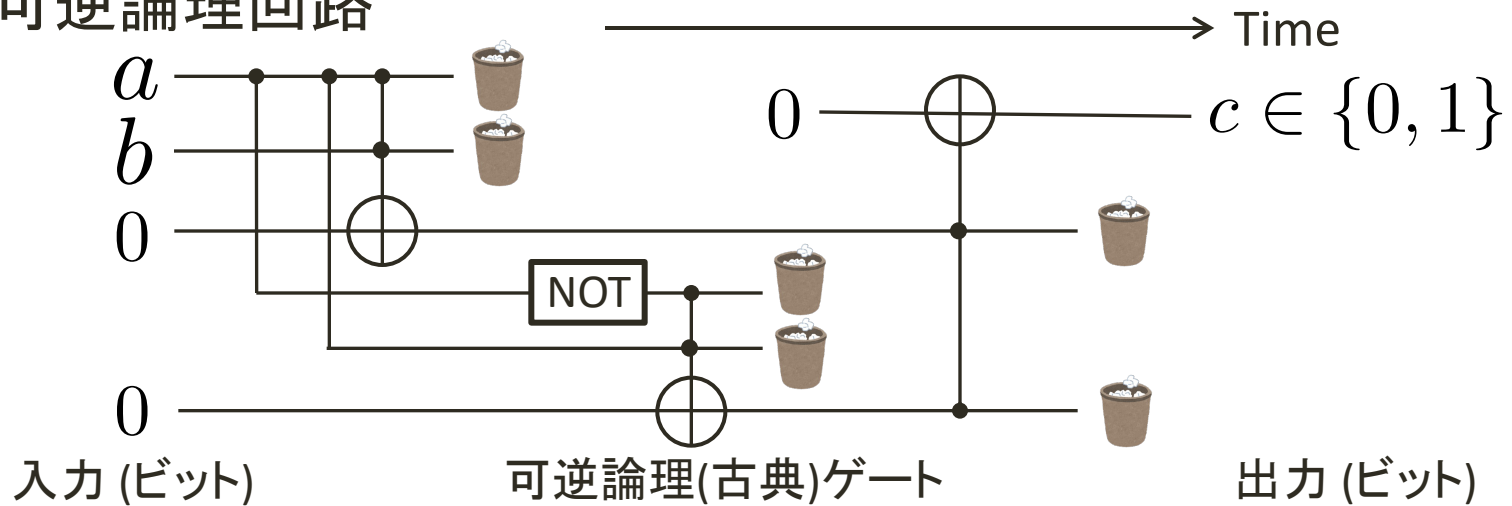
入力 a	出力 $\neg a$
0	1
1	0

AND

入力 (a, b, c)			出力
0	0		0
0	0	1	001
0	1		0
0	1	1	011
1	0		0
1	0	1	101
1	1		1
1	1	1	110

量子コンピュータ

■ 可逆論理回路



量子ビット
(2次元正規ベクトル)



量子ゲート
(ユニタリ行列)

古典・量子コンピュータの違い①

2つのコンピュータでは、情報の表現方法が異なる

➤ 古典コンピュータ: 古典ビット

0 または 1

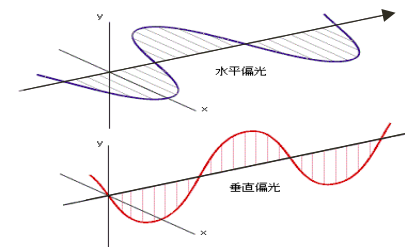
➤ 量子コンピュータ: 量子ビット

0 と 1 の重ね合わせ
…0と1を“同時”に表現

$$\alpha|0\rangle + \beta|1\rangle = \begin{pmatrix} \alpha \\ \beta \end{pmatrix}$$

$$\left(\begin{array}{l} |0\rangle \equiv \begin{pmatrix} 1 \\ 0 \end{pmatrix}, |1\rangle \equiv \begin{pmatrix} 0 \\ 1 \end{pmatrix} \\ \alpha, \beta \in \mathbb{C} \text{ s.t. } |\alpha|^2 + |\beta|^2 = 1 \end{array} \right)$$

例) 光子の偏光 $|0\rangle$



$|1\rangle$

古典・量子コンピュータの違い①

2つのコンピュータでは、情報の表現方法が異なる

➤ 古典コンピュータ: 古典ビット

0 または 1

$(\alpha, \beta) = (0, 1)$ の特別ケース

$(\alpha, \beta) = (1, 0)$ の特別ケース

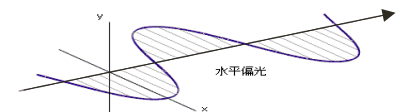
➤ 量子コンピュータ: 量子ビット

0
1 0と1の重ね合わせ
…0と1を“同時”に表現

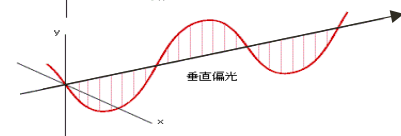
$$\alpha|0\rangle + \beta|1\rangle = \begin{pmatrix} \alpha \\ \beta \end{pmatrix}$$

$$\left(\begin{array}{l} |0\rangle \equiv \begin{pmatrix} 1 \\ 0 \end{pmatrix}, |1\rangle \equiv \begin{pmatrix} 0 \\ 1 \end{pmatrix} \\ \alpha, \beta \in \mathbb{C} \text{ s.t. } |\alpha|^2 + |\beta|^2 = 1 \end{array} \right)$$

例) 光子の偏光 $|0\rangle$



$|1\rangle$



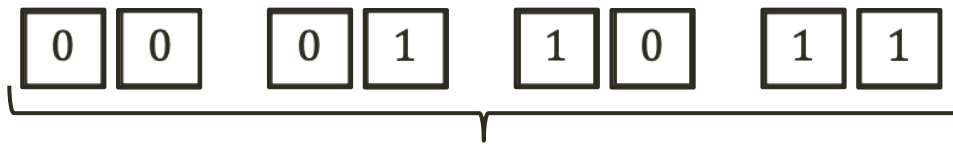
古典・量子コンピュータの違い①

2つのコンピュータでは、情報の表現方法が異なる

▶ 古典コンピュータ: 古典ビット

0 または 1

4種類の数字を同時に表現するなら、

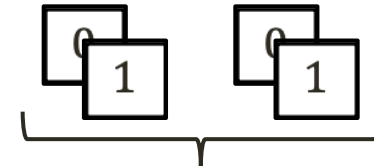


$2 \times 4 = 8$ **ビット** 必要!!

▶ 量子コンピュータ: **量子ビット**

$$\begin{matrix} \langle 0 | \\ \langle 1 | \end{matrix} \alpha|0\rangle + \beta|1\rangle = \begin{pmatrix} \alpha \\ \beta \end{pmatrix}$$

4種類の数字を同時に表現するなら、



2量子ビット で十分!!

$$\alpha|00\rangle + \beta|01\rangle + \gamma|10\rangle + \delta|11\rangle$$

$$= (\alpha, \beta, \gamma, \delta)^T$$

$$\left[\forall i, j \in \{0, 1\}, |ij\rangle \equiv |i\rangle \otimes |j\rangle \right]$$

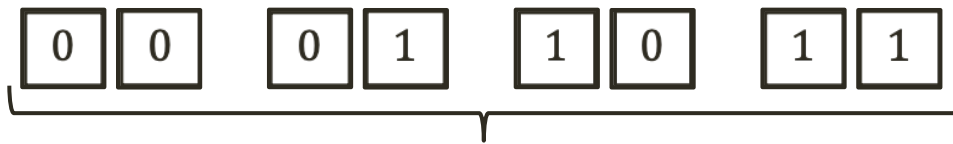
古典・量子コンピュータの違い①

2つのコンピュータでは、情報の表現方法が異なる

▶ 古典コンピュータ: 古典ビット

0 または 1

4種類の数字を同時に表現するなら、

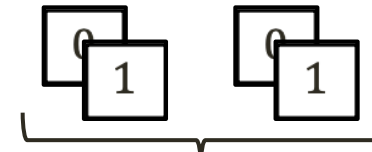


$2 \times 4 = 8$ ビット必要!!

▶ 量子コンピュータ: 量子ビット

$$\begin{matrix} \square 0 \\ \square 1 \end{matrix} \alpha|0\rangle + \beta|1\rangle = \begin{pmatrix} \alpha \\ \beta \end{pmatrix}$$

4種類の数字を同時に表現するなら、



2量子ビットで十分!!

2^n 個の数字を同時に表現するなら、
 $n2^n$ ビット
必要☹

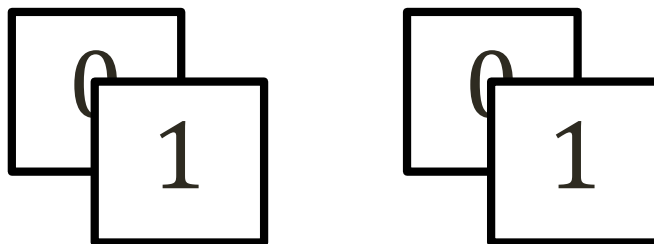
指数的に
少ない

2^n 個の数字を同時に表現するなら、
 n 量子ビット
必要☺

“並列”計算が得意

古典・量子コンピュータの違い①

Remark: エンタングル状態



$$\alpha|00\rangle + \beta|01\rangle + \gamma|10\rangle + \delta|11\rangle = \begin{pmatrix} \alpha \\ \beta \\ \gamma \\ \delta \end{pmatrix}$$

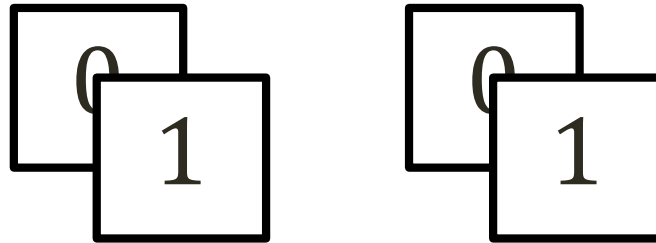


古典ビットと同じ？

$$(\alpha|0\rangle + \beta|1\rangle) \otimes (\alpha'|0\rangle + \beta'|1\rangle)$$

古典・量子コンピュータの違い①

Remark: エンタングル状態



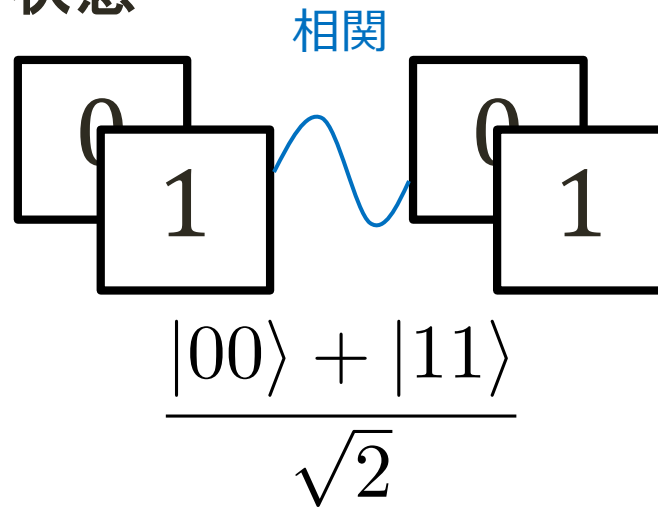
$$\alpha|00\rangle + \beta|01\rangle + \gamma|10\rangle + \delta|11\rangle = \begin{pmatrix} \alpha \\ \beta \\ \gamma \\ \delta \end{pmatrix}$$

古典ビット

~~$(\beta|1\rangle) \otimes (\alpha|0\rangle)$~~

古典・量子コンピュータの違い①

Remark: エンタングル状態



$(\alpha|0\rangle + \beta|1\rangle) \otimes (\alpha'|0\rangle + \beta'|1\rangle)$ の形に書くためには

$$\alpha\beta' = \beta\alpha' = 0 \quad \text{かつ} \quad \alpha\alpha' = \beta\beta' = \frac{1}{\sqrt{2}}$$

が要求されるが、この条件を満たす $(\alpha, \beta, \alpha', \beta')$ は存在しない

古典・量子コンピュータの違い②

量子コンピュータの操作(量子ゲート)はユニタリ行列で表現できる

➤ シュレディンガー方程式

量子計算は、量子力学の原理に基づいた計算モデル
→可能な操作は量子力学の原理によって決まる



Erwin Schrödinger

[https://en.wikipedia.org/wiki/Erwin_Schrödinger]

$$i \frac{d}{dt} |\psi(t)\rangle = \underline{H} |\psi(t)\rangle \quad \Rightarrow \quad |\psi(t)\rangle = e^{-iHt} |\psi(0)\rangle$$

ハミルトニアン
(エルミート行列)

古典・量子コンピュータの違い②

量子コンピュータの操作(量子ゲート)はユニタリ行列で表現できる

➤ シュレディンガー方程式

量子計算は、量子力学の原理に基づいた計算モデル
→可能な操作は量子力学の原理によって決まる



Erwin Schrödinger

[https://en.wikipedia.org/wiki/Erwin_Schrödinger]

$$i \frac{d}{dt} |\psi(t)\rangle = \underline{H} |\psi(t)\rangle \quad \Rightarrow \quad |\psi(t)\rangle = e^{-iHt} |\psi(0)\rangle$$

ハミルトニアン
(エルミート行列)



量子ゲートはユニタリ行列で書ける

量子コンピュータ

■ 量子回路



➤ (計算基底)測定

量子ビット(ベクトル)をビットに確率的に変換する操作

$$\alpha|0\rangle + \beta|1\rangle \longrightarrow \begin{cases} |\alpha|^2 \text{の確率でビット}0 \\ |\beta|^2 (= 1 - |\alpha|^2) \text{の確率でビット}1 \end{cases}$$

量子コンピュータ

➤ ユニバーサルゲートセット

Solovay-Kitaevの定理 [C. M. Dawson and M. A. Nielsen, Quantum Inf. Comput. 6, 81 (2006)]

アダマールゲート

$$H = \frac{1}{\sqrt{2}} \begin{pmatrix} 1 & 1 \\ 1 & -1 \end{pmatrix}$$

Tゲート

$$T = \begin{pmatrix} 1 & 0 \\ 0 & e^{i\pi/4} \end{pmatrix}$$

CNOTゲート

$$CX = \begin{pmatrix} 1 & 0 \\ 0 & 0 \end{pmatrix} \otimes \begin{pmatrix} 1 & 0 \\ 0 & 1 \end{pmatrix} + \begin{pmatrix} 0 & 0 \\ 0 & 1 \end{pmatrix} \otimes \begin{pmatrix} 0 & 1 \\ 1 & 0 \end{pmatrix}$$

の組み合わせ(掛け算とテンソル積)で、任意のユニタリ行列を近似できる。

量子コンピュータ

➤ ユニバーサルゲートセット

Solovay-Kitaevの定理 [C. M. Dawson and M. A. Nielsen, Quantum Inf. Comput. 6, 81 (2006)]

アダマールゲート、 T ゲート、CNOTゲートの組み合わせ(掛け算とテンソル積)で、任意のユニタリ行列を近似できる。

アダマールゲートの役割: 重ね合わせ状態の生成

$$H|0\rangle = \frac{|0\rangle + |1\rangle}{\sqrt{2}}$$

T ゲートの役割: 重ね合わせの調整

$$T \frac{|0\rangle + |1\rangle}{\sqrt{2}} = \frac{|0\rangle + e^{i\pi/4}|1\rangle}{\sqrt{2}}$$

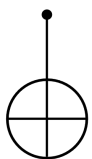
CNOTゲートの役割: エンタングル状態の生成

$$CX \left(\frac{|0\rangle + |1\rangle}{\sqrt{2}} \otimes |0\rangle \right) = \frac{|00\rangle + |11\rangle}{\sqrt{2}}$$

量子コンピュータ vs. 古典コンピュータ

量子ユニバーサルゲートセット

CNOT



アダマールゲート

$$H \equiv \frac{1}{\sqrt{2}} \begin{pmatrix} 1 & 1 \\ 1 & -1 \end{pmatrix}$$



T gate

$$T \equiv \begin{pmatrix} 1 & 0 \\ 0 & e^{i\pi/4} \end{pmatrix}$$

vs.

古典ゲートセット

トフォリゲート



NOT

NOT

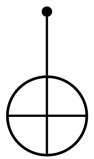
量子コンピュータ vs. 古典コンピュータ

量子ユニバーサルゲートセット

CNOT

アダマールゲート

T gate



$$H \equiv \frac{1}{\sqrt{2}} \begin{pmatrix} 1 & 1 \\ 1 & -1 \end{pmatrix}$$



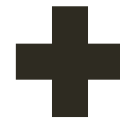
$$T \equiv \begin{pmatrix} 1 & 0 \\ 0 & e^{i\pi/4} \end{pmatrix}$$

vs.

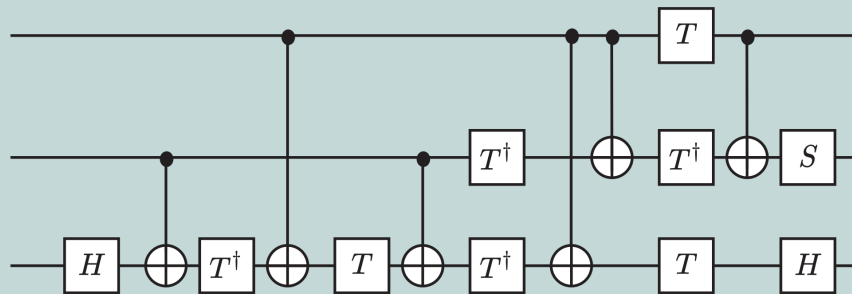
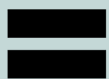
古典ゲートセット

トフォリゲート

NOT



NOT



$$\begin{aligned} NOT &= X \\ &= HT^4H \end{aligned}$$

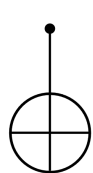
量子コンピュータ vs. 古典コンピュータ

量子ユニバーサルゲートセット

CNOT

アダマールゲート

T gate



$$H \equiv \frac{1}{\sqrt{2}} \begin{pmatrix} 1 & 1 \\ 1 & -1 \end{pmatrix}$$



$$T \equiv \begin{pmatrix} 1 & 0 \\ 0 & e^{i\pi/4} \end{pmatrix}$$

vs.

古典ゲートセット

トフォリゲート

NOT



NOT

量子コンピュータは、古典コンピュータ以上の計算能力がある

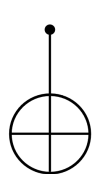
量子コンピュータ vs. 古典コンピュータ

量子ユニバーサルゲートセット

CNOT

アダマールゲート

T gate



$$H \equiv \frac{1}{\sqrt{2}} \begin{pmatrix} 1 & 1 \\ 1 & -1 \end{pmatrix}$$



$$T \equiv \begin{pmatrix} 1 & 0 \\ 0 & e^{i\pi/4} \end{pmatrix}$$

vs.

古典ゲートセット

トフォリゲート

NOT



NOT

量子コンピュータは、古典コンピュータ以上の計算能力がある

逆に、量子コンピュータにしか出来ないことはあるの？



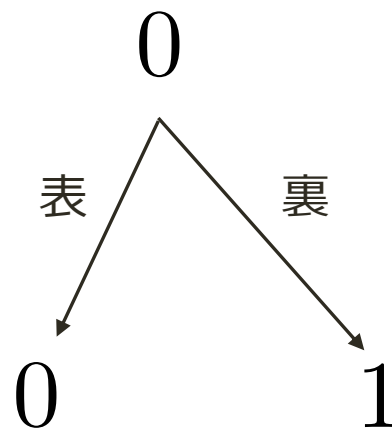
量子コンピュータ vs. 古典コンピュータ

コインフリップ

量子コンピュータの場合

$$\begin{array}{c} |0\rangle \\ \downarrow H \\ \frac{|0\rangle + |1\rangle}{\sqrt{2}} \end{array}$$

古典コンピュータの場合



どちらの場合でも、
50%の確率で1が出る

量子コンピュータ vs. 古典コンピュータ

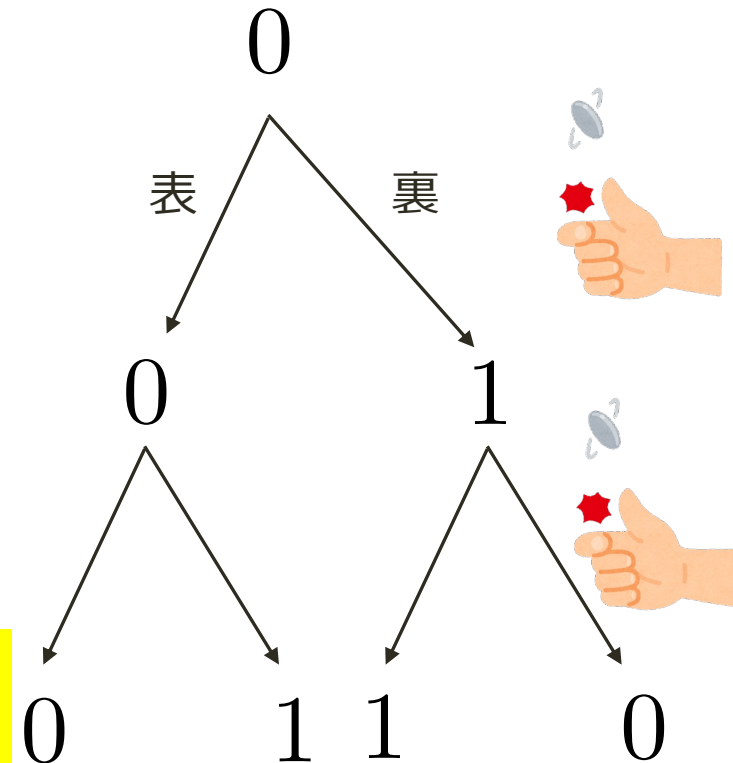
コインフリップ

量子コンピュータの場合

$$\begin{aligned} &|0\rangle \\ &\downarrow H \\ &\frac{|0\rangle + |1\rangle}{\sqrt{2}} \\ &\downarrow H \\ &|0\rangle \end{aligned}$$

量子コンピュータでは、
不都合な結果(i.e., 1)を消せる!!

古典コンピュータの場合



量子コンピュータの優位性

量子重ね合わせを利用することで、以下の問題が
(既知の)最良の古典アルゴリズムよりも効率よく解ける:

- 素因数分解 [P. W. Shor, *SIAM J. Comput.* **26**, 1484 (1997).]
- 離散対数の発見 [P. W. Shor, *SIAM J. Comput.* **26**, 1484 (1997).]
- 隠れ部分群問題 [A. Y. Kitaev, *arXiv:quant-ph/9511026* (1995).]
- Jones多項式の近似 [D. Aharonov, V. Jones, and Z. Landau, *Algorithmica* **55**, 395 (2009).]
- 分配関数の近似 [A. Matsuo, K. Fujii, and N. Imoto, *Phys. Rev. A* **90**, 022304 (2014).]
- (構造のない)データベース探索 [L. K. Grover, *Phys. Rev. Lett.* **79**, 325 (1997).]
- 可解群の位数の計算 [J. Watrous, in *Proc. of the 33rd STOC* (ACM, Crete, 2001), p. 60.]
- 周期発見 [D. R. Simon, *SIAM J. Comput.* **26**, 1474 (1997).]
- 連立方程式 [A. W. Harrow, A. Hassidim, and S. Lloyd, *Phys. Rev. Lett.* **103**, 150502 (2009).]
- 衝突発見 [G. Brassard, P. Høyer, and A. Tapp, in *Proc. of the LATIN'98* (Springer, Campinas, 1998), p. 163.]

etc...

量子コンピュータの優位性

量子重ね合わせを利用することで、以下の問題が
(既知の)最良の古典アルゴリズムよりも効率よく解ける:

- 素因数分解 [P. W. Shor, SIAM J. Comput. **26**, 1495 (1997).]
- 離散対数の発見 [P. W. Shor, SIAM J. Comput. **26**, 1495 (1997).]
- 隠れ部分群問題 [A. Y. Kitaev, SIAM J. Comput. **26**, 1495 (1997).]
- Jones多項式の近似 [D. Aharonov, SIAM J. Comput. **26**, 1495 (1997).]
- 分配関数の近似 [A. Matsuo, SIAM J. Comput. **26**, 1495 (1997).]
- (構造のない)データベース探索 [L. K. Grover, Phys. Rev. Lett. **79**, 325 (1997).]
- 可解群の位数の計算 [J. Watrous, in *Proc. of the 33rd STOC* (ACM, Crete, 2001), p. 60.]
- 周期発見 [D. R. Simon, SIAM J. Comput. **26**, 1474 (1997).]
- 連立方程式 [A. W. Harrow, A. Hassidim, and S. Lloyd, Phys. Rev. Lett. **103**, 150502 (2009).]
- 衝突発見 [G. Brassard, P. Høyer, and A. Tapp, in *Proc. of the LATIN'98* (Springer, Campinas, 1998), p. 163.]

より詳細を知りたい方は、

Quantum Algorithm Zoo

<https://quantumalgorithmzoo.org>

Qmedia (上記の和訳版 [Y. Suzuki, YT, et al.])

<https://www.qmedia.jp/algorithm-zoo/>

etc...

量子コンピュータの優位性

量子重ね合わせを利用することで、以下の問題が
(既知の)最良の古典アルゴリズムよりも効率よく解ける:

- 素因数分解 [P. W. Shor, SIAM J.
- 離散対数の発見 [P. W. Shor,

より詳細を知りたい方は、
Quantum Algorithm Zoo

quantumalgorithmzoo.org

翻訳版 [Y. Suzuki, YT, et al.]

[nipponia.jp/algorithm-zoo/](https://www.nipponia.jp/algorithm-zoo/)

Lett. **79**, 325 (1997).]

[CM, Crete, 2001), p. 60.]

tt. **103**, 150502 (2009).]

98 (Springer, Campinas, 1998), p. 163.]

etc...

量子特異値変換(QSVT)

PRX QUANTUM **2**, 040203 (2021)

Tutorial

Grand Unification of Quantum Algorithms

John M. Martyn^{1,2,*}, Zane M. Rossi², Andrew K. Tan,³ and Isaac L. Chuang^{3,4}

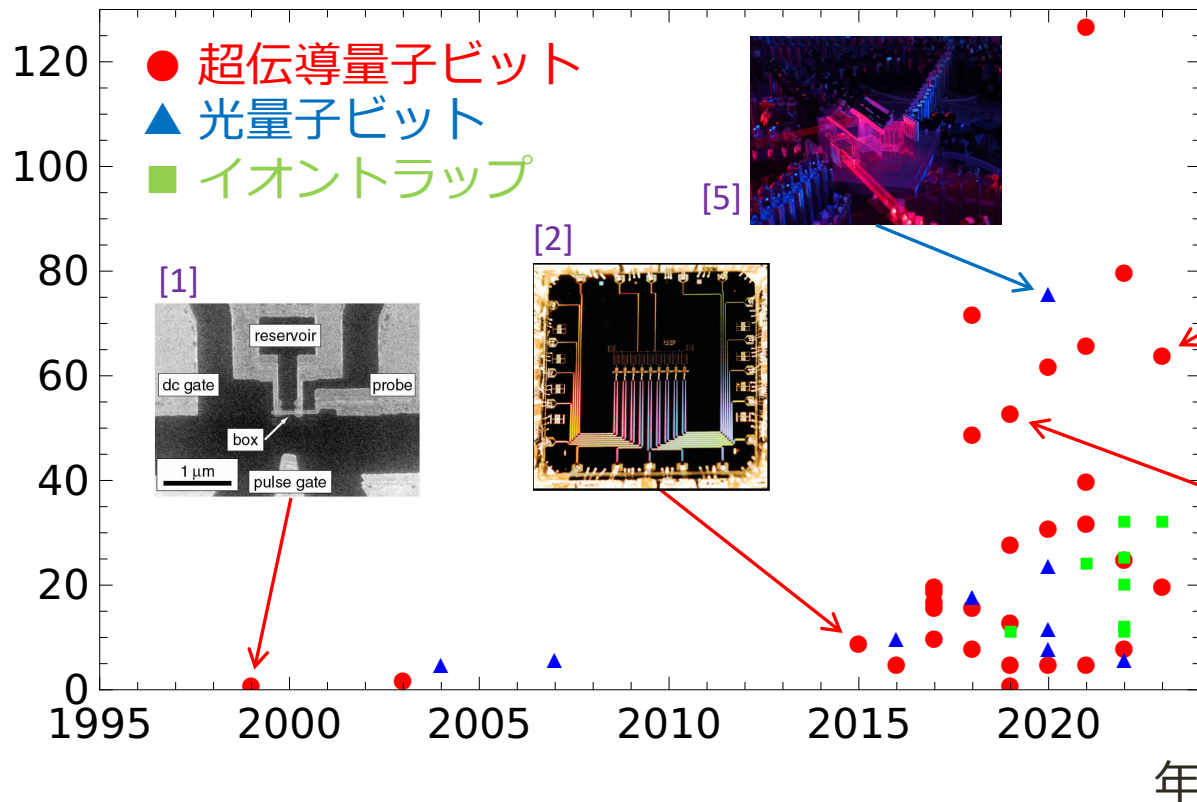
電子情報通信学会誌2021年11月号:
早川さん、森前先生の解説

情報処理学会誌2022年6月号:
藤井先生の解説

量子コンピュータの開発状況

※全ての量子コンピュータが含まれている訳ではない

量子ビット数
(or 量子モード数)



[1] Y. Nakamura, Y. A. Pashkin, and J. S. Tsai, Nature **398**, 786 (1999).

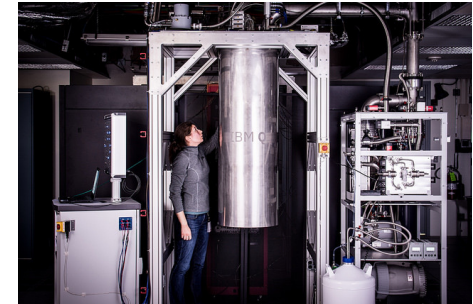
[2] J. Kelly *et al.*, Nature **519**, 66 (2015). [3] <https://monoist.itmedia.co.jp/mn/articles/2304/07/news068.html>

[4] F. Arute *et al.*, Nature **574**, 505 (2019). [5] <https://www.nature.com/articles/d41586-020-03434-7>

量子コンピュータの欠点

(現在の)実装方法の欠点

- サイズが大きい
- 超伝導量子ビットなどの場合、極低温(e.g., <50mK)が必要
- 定期的なメンテナンスが必要
- エラー確率が(古典コンピュータに比べて)高く、
計算時間の増加に伴い不正な計算結果の割合が増えてしまう

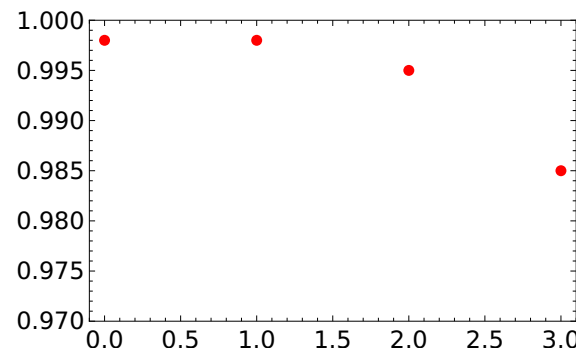


27°Cは300K

例) 量子コインフリップを量子コンピュータ実機(ibm_osaka)で実行

$$\left(\begin{array}{c} |0\rangle \\ H \uparrow \downarrow H \\ |0\rangle + |1\rangle \\ \hline \sqrt{2} \end{array} \right) \times k$$

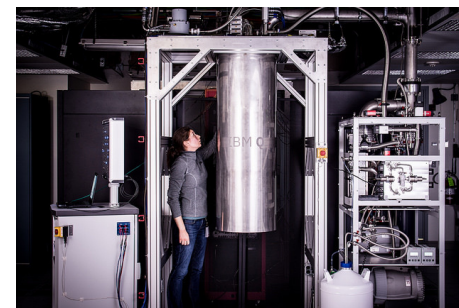
$|0\rangle$ に戻る
割合



繰り返し回数 k

量子コンピュータの欠点

IBMの
量子コンピュータ [1]



(現在の)実装方法の欠点

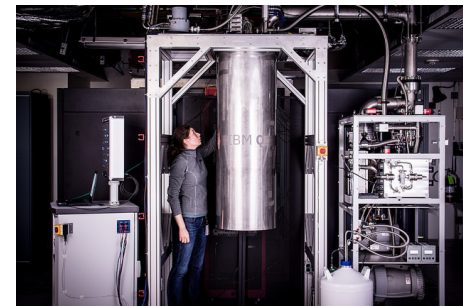
- サイズが大きい
- 超伝導量子ビットなどの場合、極低温(e.g., $<50\text{mK}$)が必要
- 定期的なメンテナンスが必要
- エラー確率が(古典コンピュータに比べて)高く、
計算時間の増加に伴い不正な計算結果の割合が増えてしまう

27°Cは300K

個人での所有は困難 & 計算結果の正否判定が重要

量子コンピュータの欠点

IBMの
量子コンピュータ [1]



(現在の)実装方法の欠点

- サイズが大きい
- 超伝導量子ビットなどの場合、極低温(e.g., $<50\text{mK}$)が必要
- 定期的なメンテナンスが必要
- エラー確率が(古典コンピュータに比べて)高く、
計算時間の増加に伴い不正な計算結果の割合が増えてしまう

27°Cは300K

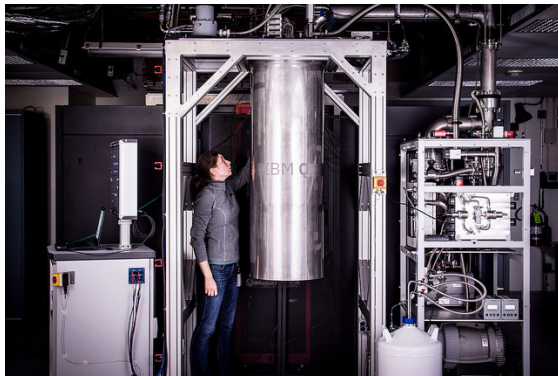
個人での所有は困難 & 計算結果の正否判定が重要

クラウド方式で解決可能！

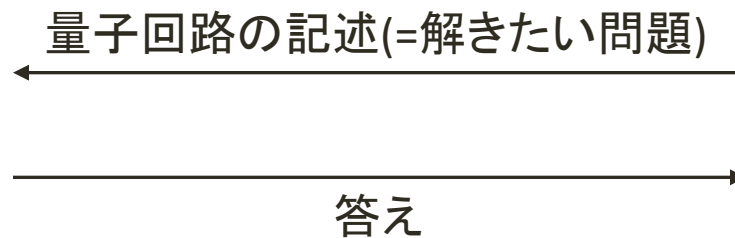
クラウド量子コンピュータ

量子コンピュータを遠隔地のサーバに配置し、
ユーザは必要な時だけアクセスして使用する運用方法

IBM, AWS (IonQ, D-Wave), Xanadu, Origin Quantum等が実現済み



サーバ
(量子コンピュータ)

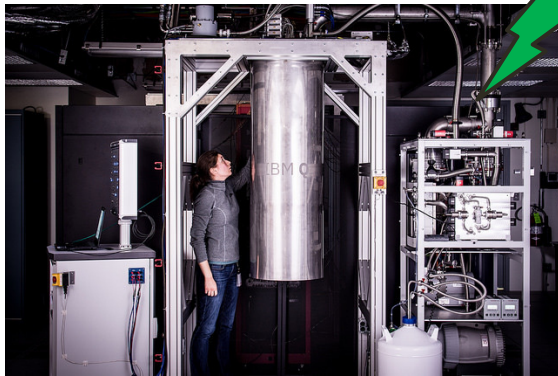


ユーザ

クラウド量子コンピュータ

量子コンピュータを遠隔地のサーバに配置し、
ユーザは必要な時だけアクセスして使用する運用方法

IBM, AWS (IonQ, D-Wave), Xanadu, Origin Quantum等が実現済み



サーバ
(量子コンピュータ)

エラー

量子回路の記述(=解きたい問題)

答え



ユーザ

問題点

ユーザは答えが正しいか分からない

クラウド量子コンピュータ

量子コンピュータを遠隔地のサーバに配置し、
ユーザは必要な時だけアクセスして使用する運用方法

IBM, AWS (IonQ, D-Wave), Xanadu, Origin Quantum等が実現済み



不正なサーバ
(量子コンピュータ)

← 量子回路の記述(=解きたい問題)

→ ワザと不正な答えを送信



問題点

ユーザは答えが正しいか分からない

セキュリテイ的
モチベーション

2. 量子計算の検証

量子計算の検証が困難な理由①

量子コンピュータが解ける問題の中には逆算が難しい問題が含まれている。(より厳密には、NPに含まれなさそうな問題がある。)

量子コンピュータが
得意な問題

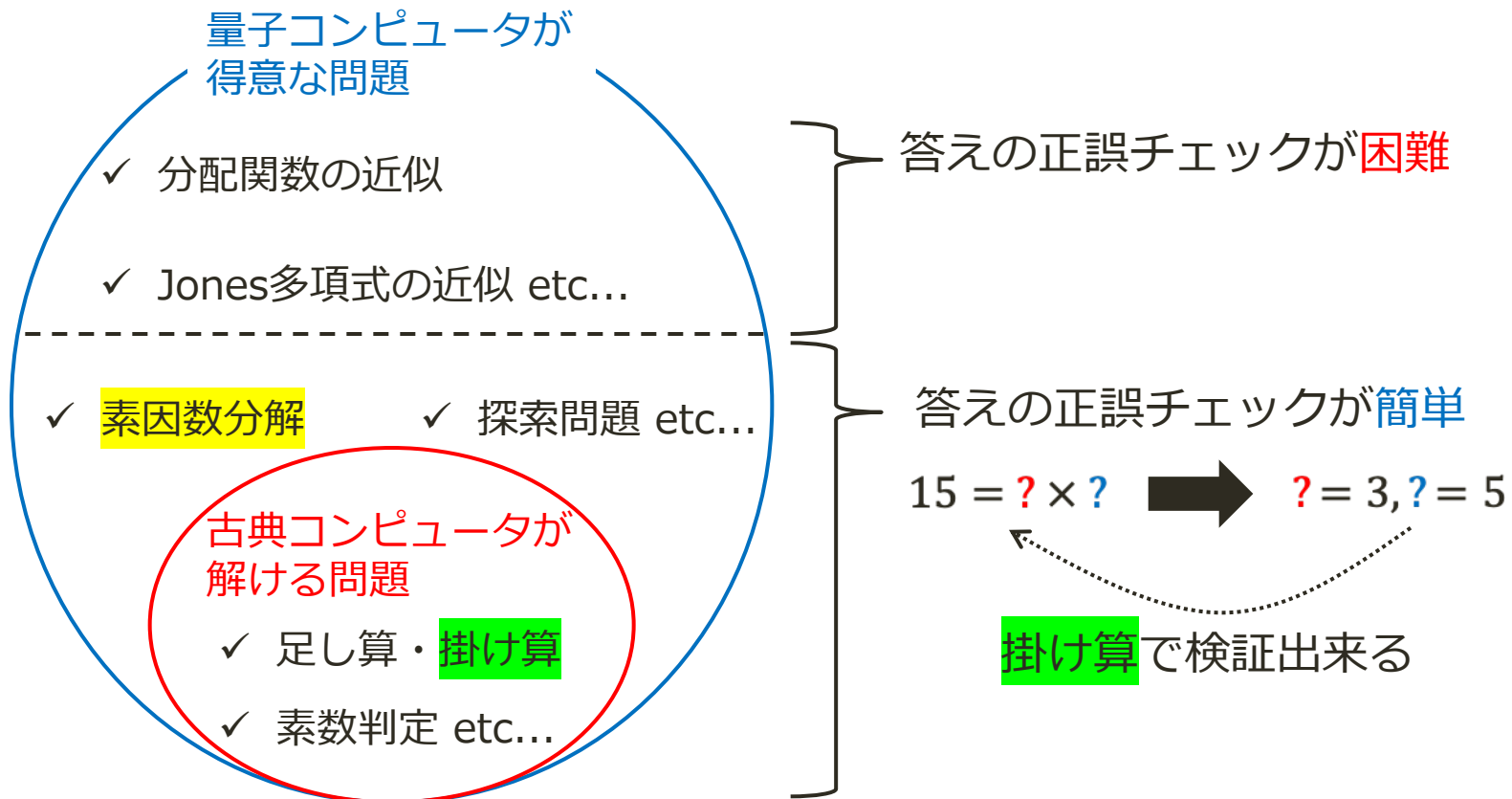
- ✓ 分配関数の近似
- ✓ Jones多項式の近似
- ✓ 素因数分解
- ✓ 探索問題 etc...

古典コンピュータが
解ける問題

- ✓ 足し算・掛け算
- ✓ 素数判定 etc...

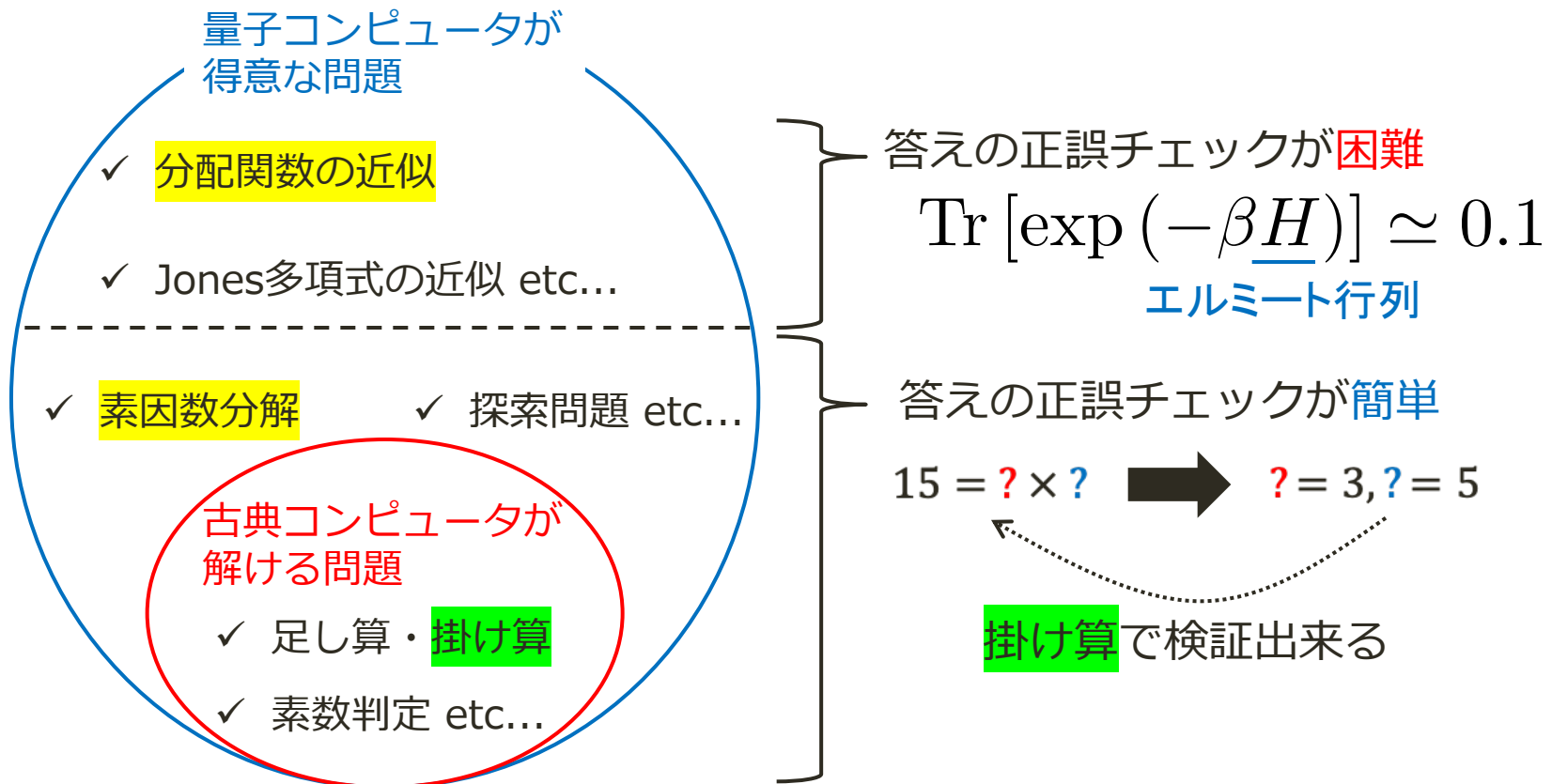
量子計算の検証が困難な理由①

量子コンピュータが解ける問題の中には逆算が難しい問題が含まれている。(より厳密には、NPに含まれなさそうな問題がある。)



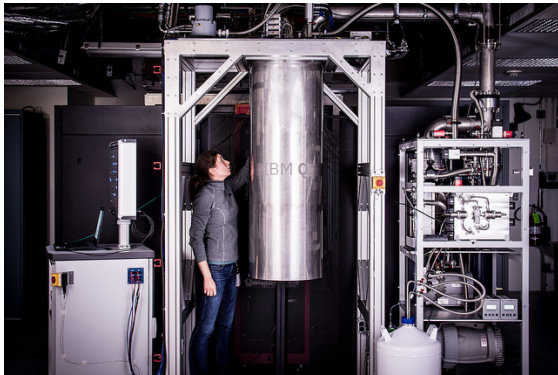
量子計算の検証が困難な理由①

量子コンピュータが解ける問題の中には逆算が難しい問題が含まれている。(より厳密には、NPに含まれなさそうな問題がある。)



量子計算の検証が困難な理由②

■ 検算



サーバ
(量子コンピュータ)

$$\text{Tr} [\exp (-\beta H)] \simeq 0.1$$

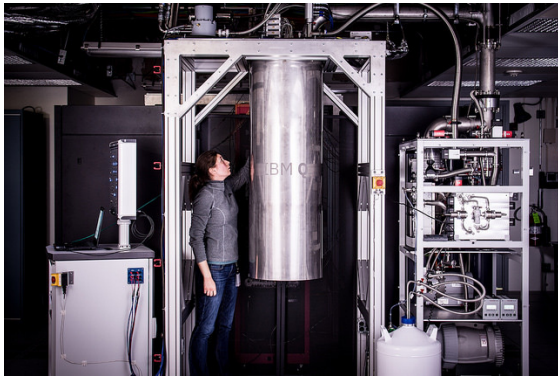


ユーザ

量子コンピュータの計算を、
古典コンピュータ上で再現してみよう

量子計算の検証が困難な理由②

- 検算: スケーラブルではない



サーバ
(量子コンピュータ)

$$\text{Tr} [\exp (-\beta H)] \simeq 0.1$$



ユーザ

理由

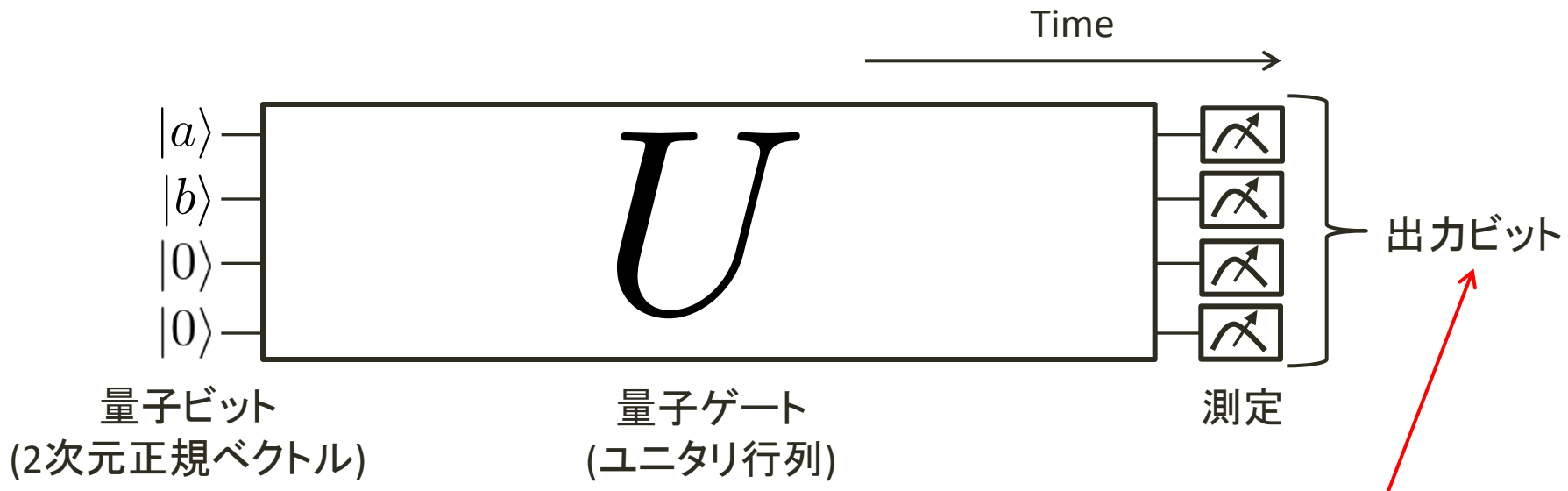
量子重ね合わせを古典コンピュータで再現するのは困難

量子コンピュータの計算を、
古典コンピュータ上で再現してみよう

↳ n 量子ビットの重ね合わせを
表現するのに、 $\Omega(2^n)$ ビット必要☹

量子計算の検証

- 解決策: ビットに変換される直前で検証を行う

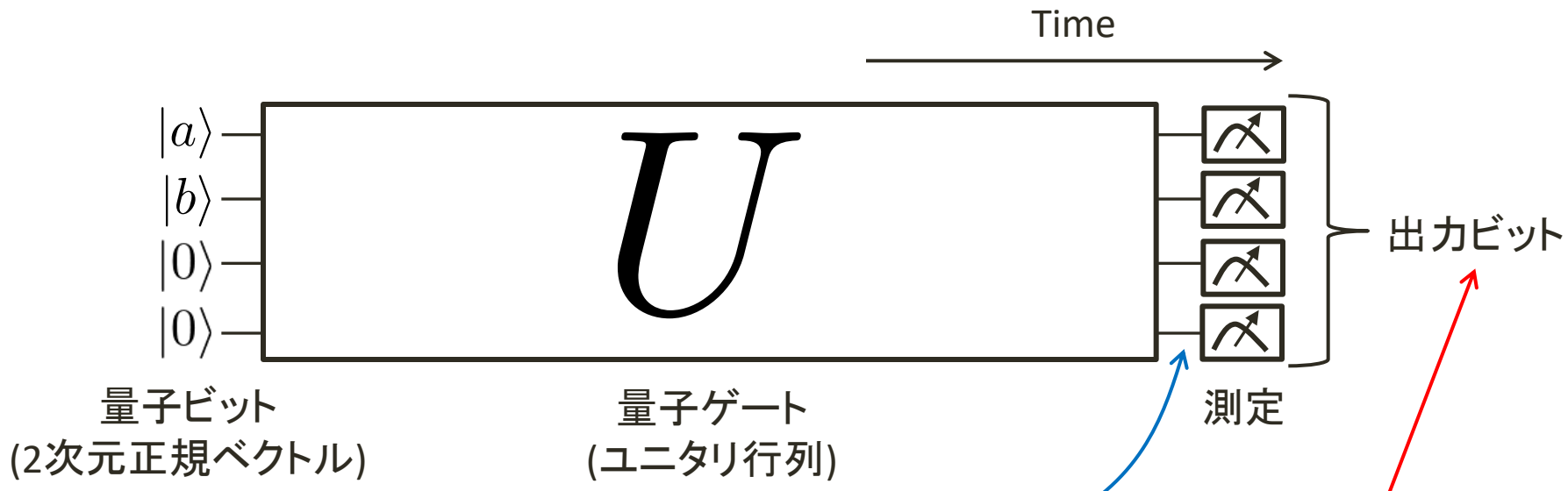


検証が難しい

e.g., [D. Hangleiter, M. Kliesch, J. Eisert, and C. Gogolin, Phys. Rev. Lett. **122**, 210502 (2019).]

量子計算の検証

- 解決策: ビットに変換される直前で検証を行う



検証が難しい

量子ビットの時点で
検証を行えば良い！
(量子状態の検証)

e.g., [D. Hangleiter, M. Kliesch, J. Eisert, and C. Gogolin,
Phys. Rev. Lett. **122**, 210502 (2019).]

量子状態の近さ

■ 忠実度(Fidelity)

[M. A. Nielsen and I. L. Chuang, *Quantum Computation and Quantum Information* (2000).]

2つの n 量子ビット状態 $|\psi\rangle$ と $|\phi\rangle$ の忠実度 $0 \leq F \leq 1$ は

$$F \equiv |\langle \phi | \psi \rangle|^2$$

2つのベクトルの内積

- F が**大きい** → 2つの量子状態は**近い**
- F が**小さい** → 2つの量子状態は**遠い**

量子状態の近さ

■ 忠実度(Fidelity)

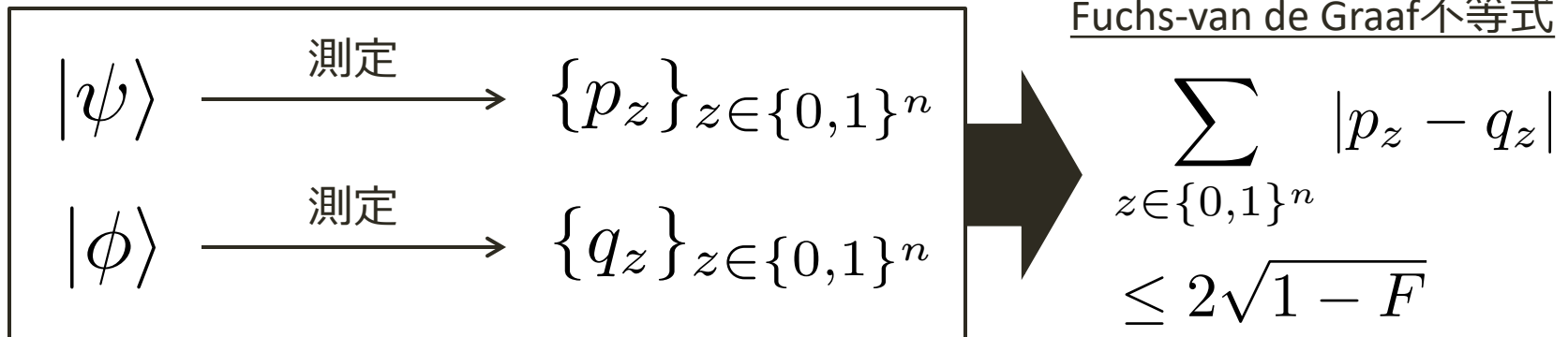
[M. A. Nielsen and I. L. Chuang, *Quantum Computation and Quantum Information* (2000).]

2つの n 量子ビット状態 $|\psi\rangle$ と $|\phi\rangle$ の忠実度 $0 \leq F \leq 1$ は

$$F \equiv |\langle \phi | \psi \rangle|^2$$

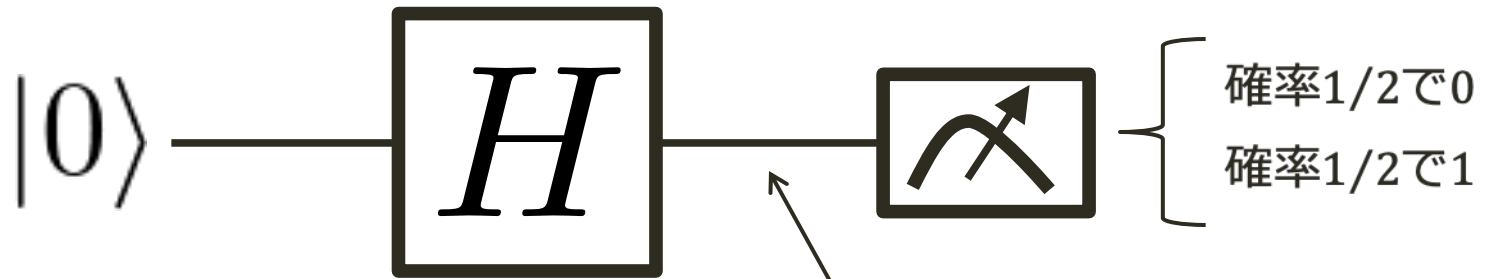
2つのベクトルの内積

- F が**大きい** \rightarrow 2つの量子状態は**近い**
- F が**小さい** \rightarrow 2つの量子状態は**遠い**



量子状態の検証の具体例: 乱数検証

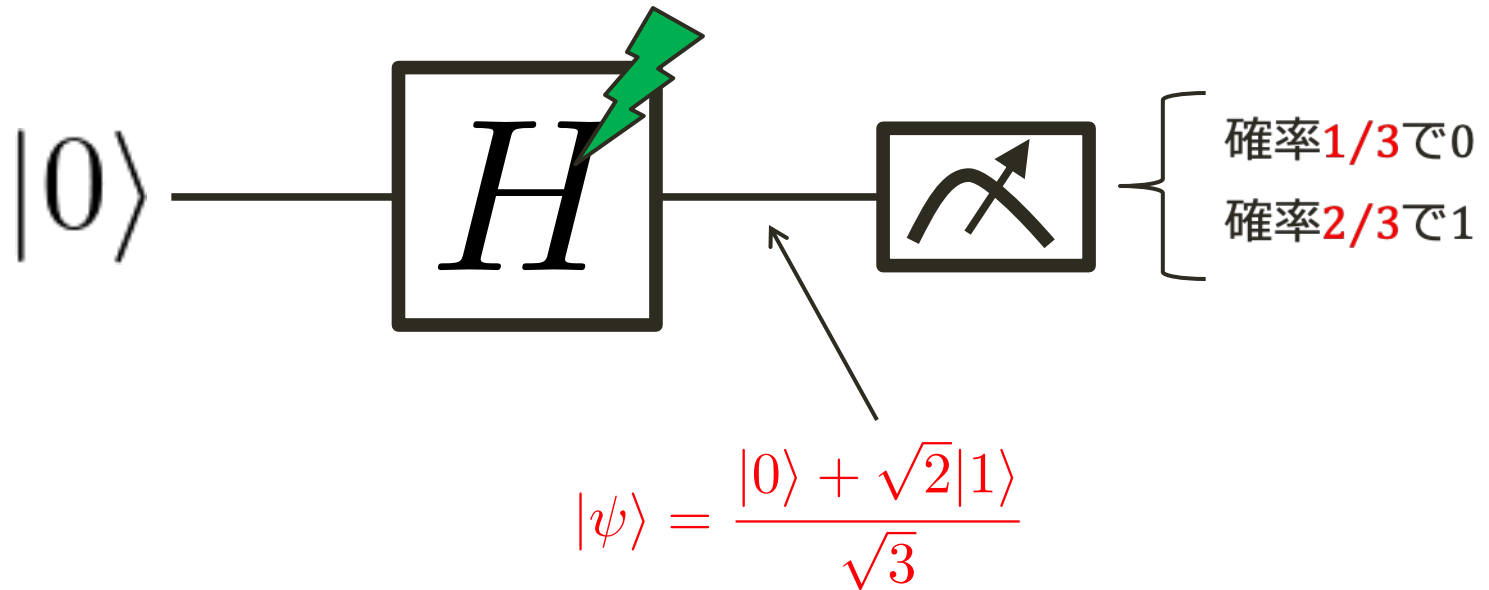
以下の量子回路で1ビットの乱数を生成出来る



$$H|0\rangle = \frac{1}{\sqrt{2}} \begin{pmatrix} 1 & 1 \\ 1 & -1 \end{pmatrix} \begin{pmatrix} 1 \\ 0 \end{pmatrix} = \frac{1}{\sqrt{2}} \begin{pmatrix} 1 \\ 1 \end{pmatrix} = \frac{|0\rangle + |1\rangle}{\sqrt{2}}$$

量子状態の検証の具体例: 乱数検証

以下の量子回路で1ビットの乱数を生成出来る



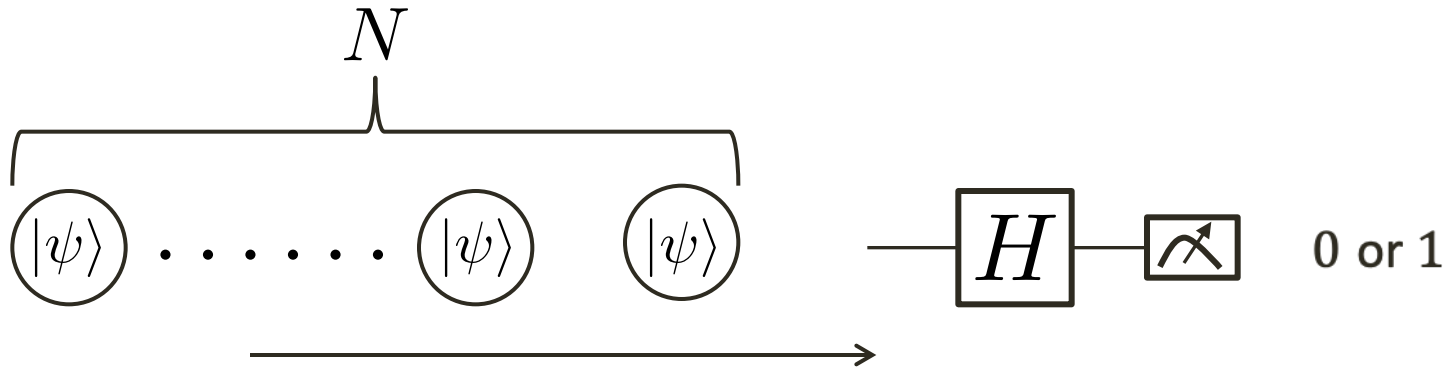
正しい乱数とエラーが発生した乱数の確率分布の距離は

$$\left| \frac{1}{2} - \frac{1}{3} \right| + \left| \frac{1}{2} - \frac{2}{3} \right| = \frac{1}{3} \leq 2\sqrt{1 - F} \approx 0.97$$

量子状態の検証の具体例: 乱数検証

忠実度の測り方

H をかけた時に $|0\rangle$ に戻る割合 M_0 を計算する
(量子状態に対する検算)

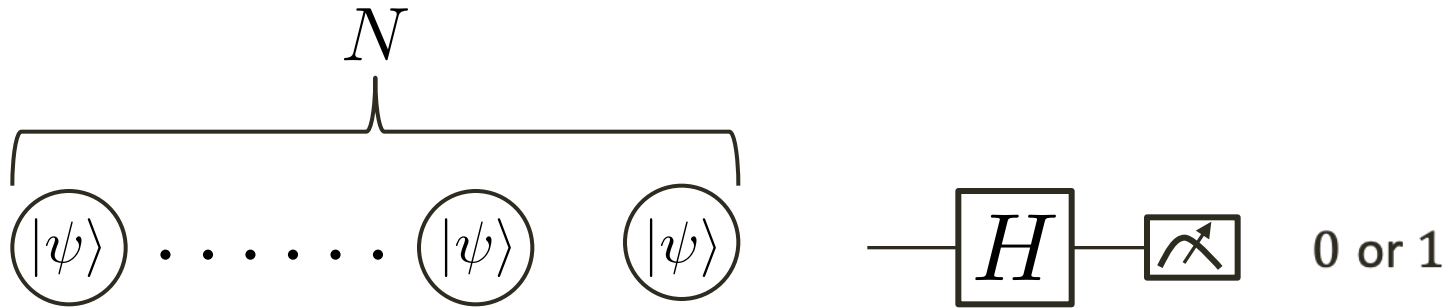


$$\lim_{N \rightarrow \infty} M_0 = F$$

量子状態の検証の具体例: 乱数検証

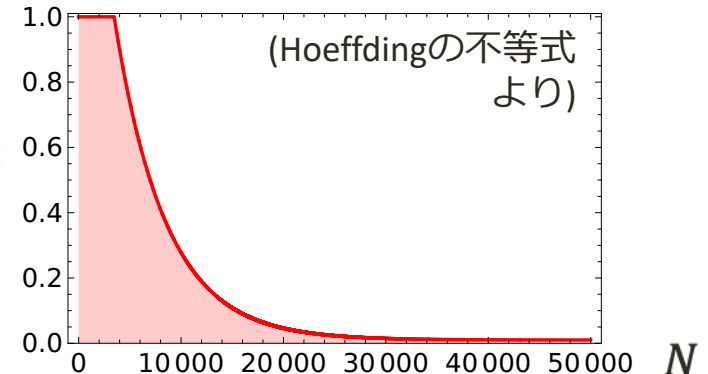
忠実度の測り方

H をかけた時に $|0\rangle$ に戻る割合 M_0 を計算する
(量子状態に対する検算)



$|F - M_0|$ の平均
の上限

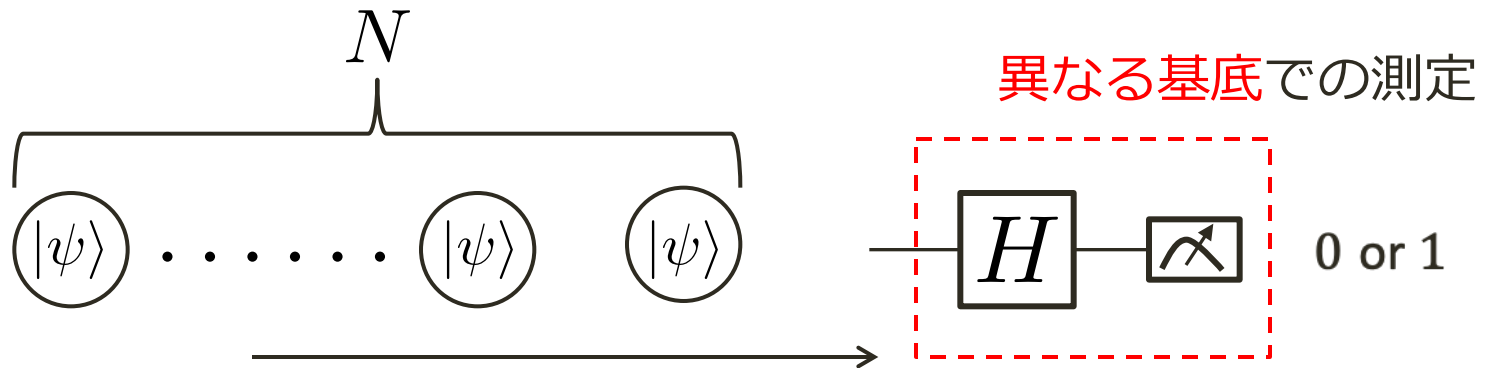
$$\lim_{N \rightarrow \infty} M_0 = F$$



量子状態の検証の具体例: 乱数検証

忠実度の測り方

H をかけた時に $|0\rangle$ に戻る割合 M_0 を計算する
(量子状態に対する検算)



計算結果を得るための測定基底と異なる基底を用いれば
効率的な検証が行える

我々の結果: 量子乱数の検証

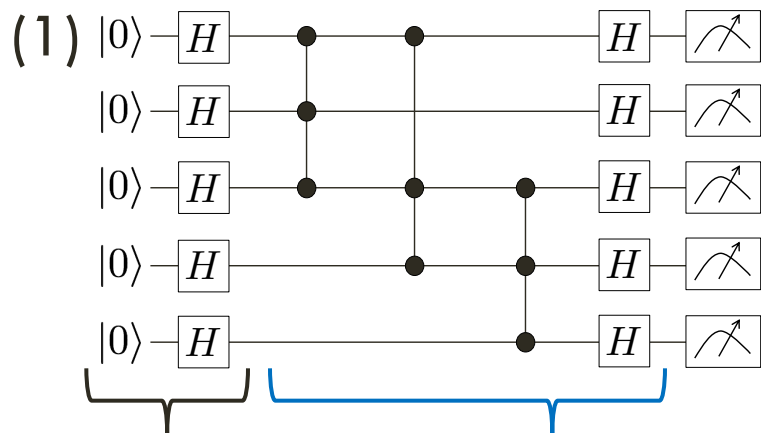
[YT and T. Morimae, Phys. Rev. X **8**, 021060 (2018).]

[M. Hayashi and YT, New J. Phys. **21**, 093060 (2019).]

可換量子回路(IQP回路)を用いて、
あらゆる古典コンピュータで生成不可能※な乱数が生成出来る

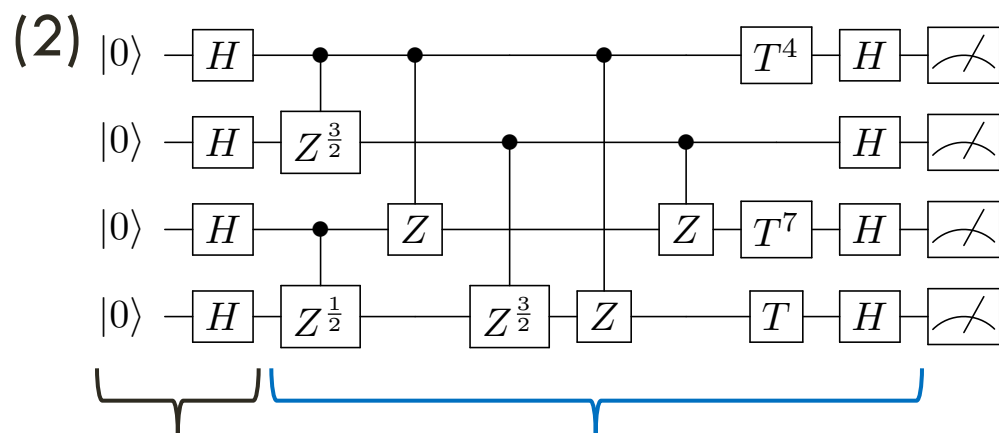
(※ 計算機科学で信じられているあるconjectureのもとで)

[M. J. Bremner, A. Montanaro, and D. J. Shepherd, Phys. Rev. Lett. **117**, 080501 (2016).]



前スライドの
乱数生成

量子優位性の
ための工夫



前スライドの
乱数生成

量子優位性の
ための工夫

我々の結果: 量子乱数の検証

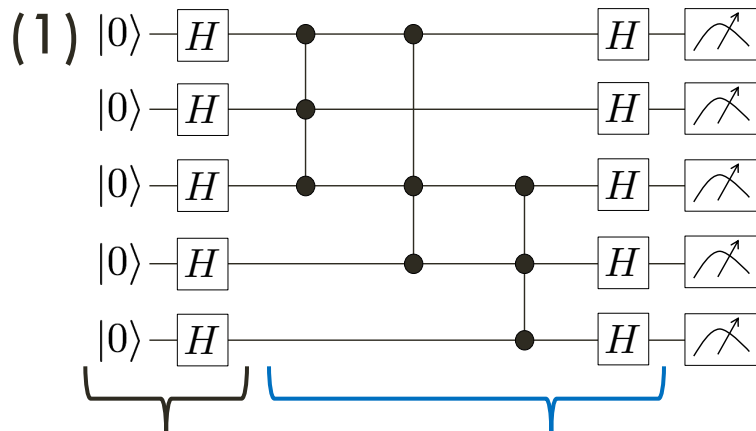
[YT and T. Morimae, Phys. Rev. X **8**, 021060 (2018).]

[M. Hayashi and YT, New J. Phys. **21**, 093060 (2019).]

可換量子回路(IQP回路)を用いて、
あらゆる古典コンピュータで生成不可能※な乱数が生成出来る

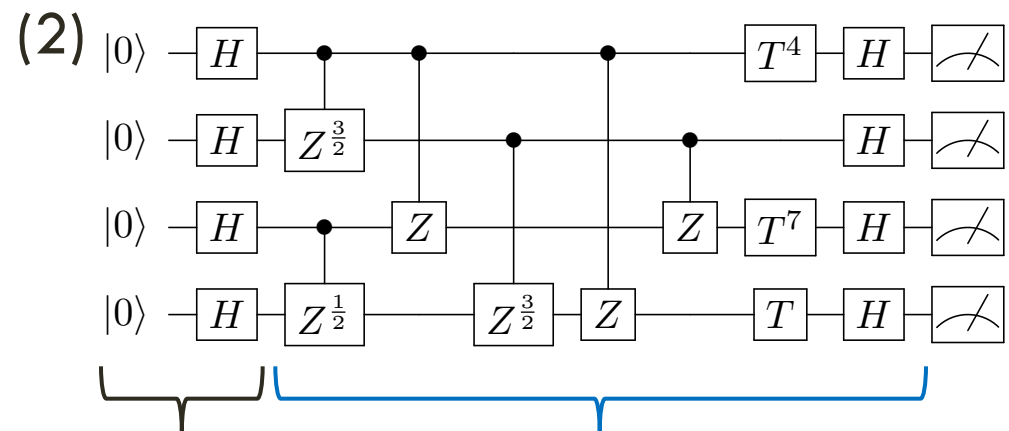
(※ 計算機科学で信じられているあるconjectureのもとで)

[M. J. Bremner, A. Montanaro, and D. J. Shepherd, Phys. Rev. Lett. **117**, 080501 (2016).]



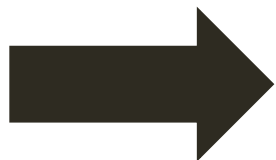
前スライドの
乱数生成

量子優位性の
ための工夫



前スライドの
乱数生成

量子優位性の
ための工夫



測定直前にエンタングル状態になるため、
1量子ビットずつ測定して忠実度を測ることが困難に

我々の結果: 量子乱数の検証

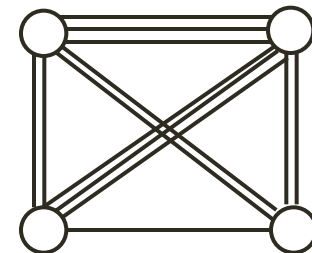
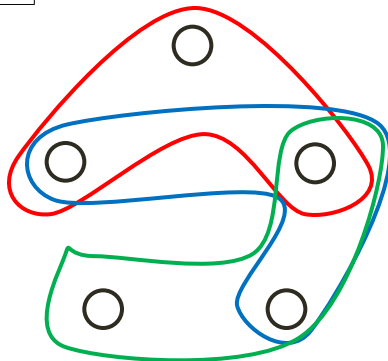
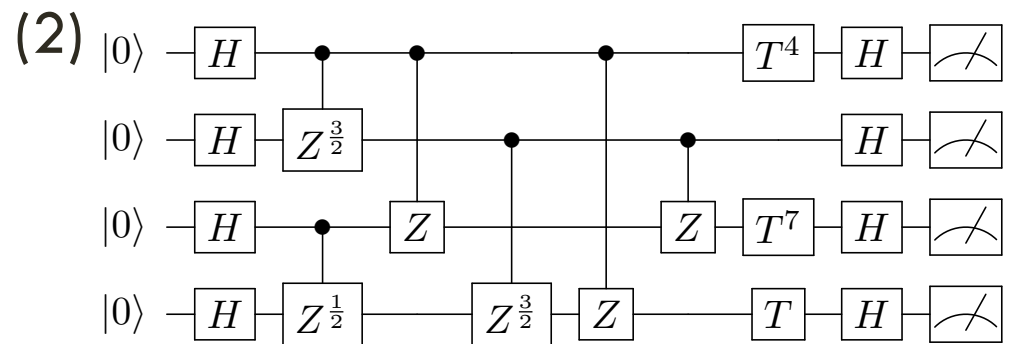
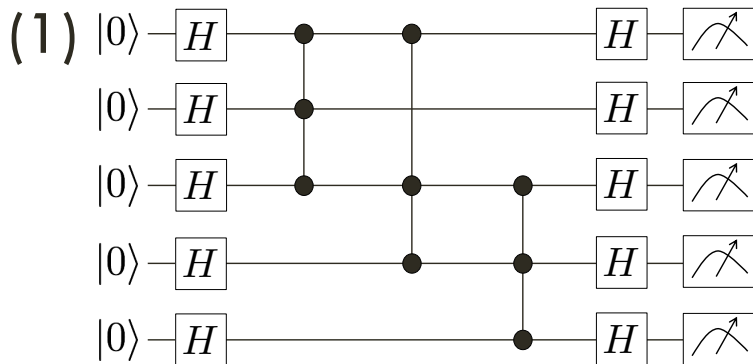
[YT and T. Morimae, Phys. Rev. X **8**, 021060 (2018).]

[M. Hayashi and YT, New J. Phys. **21**, 093060 (2019).]

解決策: 量子ビット間の相関を

(1)ハイパーグラフ, (2)重み付きグラフ

として記述することで、1ビット乱数の検証に帰着



我々の結果: 量子乱数の検証

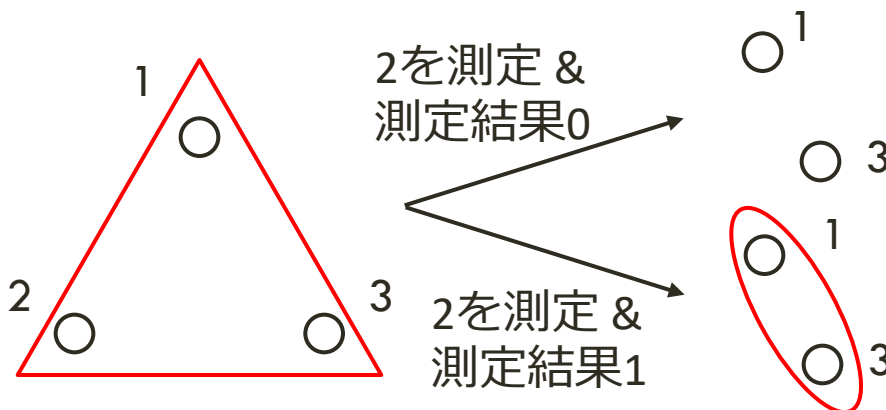
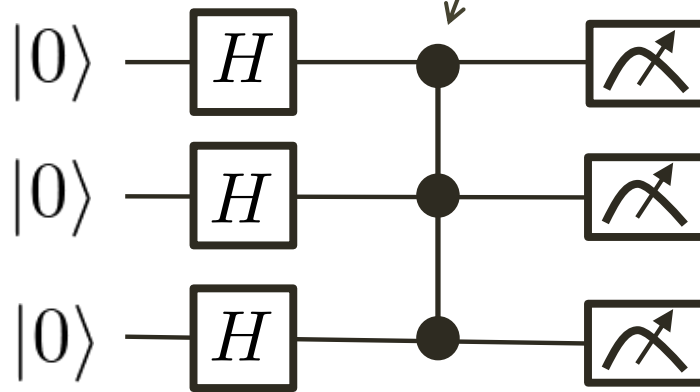
[YT and T. Morimae, Phys. Rev. X **8**, 021060 (2018).]

[M. Hayashi and YT, New J. Phys. **21**, 093060 (2019).]

具体例: 3量子ビットIQP回路(1)の場合

CCZ

$$\equiv (I \otimes I \otimes H)\text{Toffoli}(I \otimes I \otimes H)$$



相関が無くなり、簡単に検証可能!

相関が残ってしまう☹

我々の結果: 量子乱数の検証

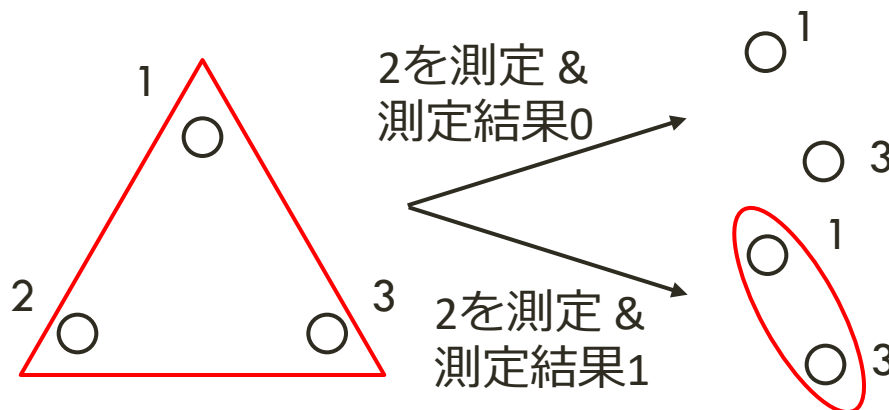
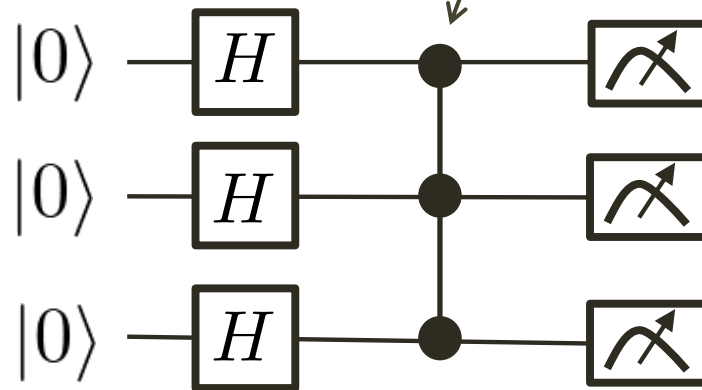
[YT and T. Morimae, Phys. Rev. X **8**, 021060 (2018).]

[M. Hayashi and YT, New J. Phys. **21**, 093060 (2019).]

具体例: 3量子ビットIQP回路(1)の場合

CCZ

$$\equiv (I \otimes I \otimes H)\text{Toffoli}(I \otimes I \otimes H)$$



相関が無くなり、簡単に検証可能!

相関が残ってしまう☹

➡ 既存手法(e.g., [2])で検証可能!

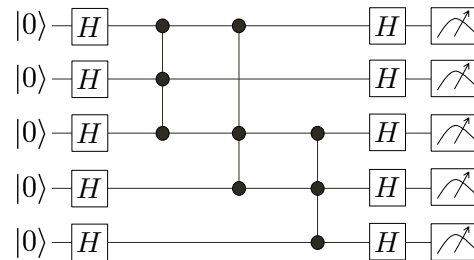
我々の結果: 量子乱数の検証

[YT and T. Morimae, Phys. Rev. X **8**, 021060 (2018).]

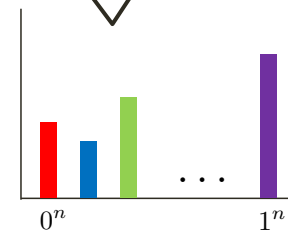
[M. Hayashi and YT, New J. Phys. **21**, 093060 (2019).]

■ 検証可能な量子乱数生成

1. 量子コンピュータで、量子乱数に変換される直前の量子状態を生成



従来は、計算結果の正誤チェックが困難



2. 我々の手法で、測定直前の量子状態が正しいか検証

忠実度が高い場合 → 量子状態を測定し、計算結果を出力

忠実度が低い場合 → 量子状態を破棄 & 生成しなおす

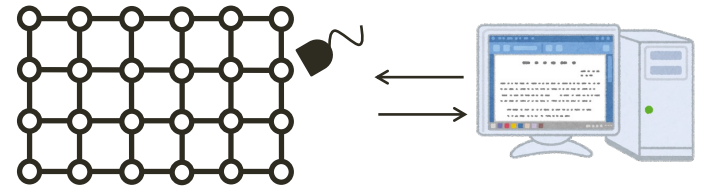
エラーの影響を受けない量子計算が可能に☺

その他の我々の結果

様々な量子計算モデル(量子コンピュータアーキテクチャ)に対して検証手法を提案
(詳細はNTT技術ジャーナル 2023年8月号をご覧ください)

1. 測定型量子計算の検証手法を改善 [YT, A. Mantri, T. Morimae, A. Mizutani, and J. F. Fitzsimons, npj Quantum Inf. 5, 27 (2019).]

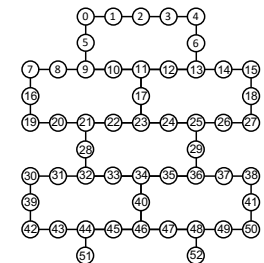
↑
光量子コンピュータに
適したモデル



2. NISQ(ノイズがある小・中規模の量子)コンピュータの検証

[YT, Y. Takahashi, T. Morimae, and S. Tani, Quantum 6, 758 (2022).]

IBMの量子コンピュータ
チップの模式図



3. 誤り耐性量子コンピュータに重要な構成要素の検証

[A. Mizutani, YT, R. Hiromasa, Y. Aikawa, and S. Tani, Phys. Rev. A 106, L010601 (2022).]

その他の我々の結果

■ NISQ(ノイズがある小・中規模の量子)コンピュータの検証

[YT, Y. Takahashi, T. Morimae, and S. Tani, Quantum **6**, 758 (2022).]

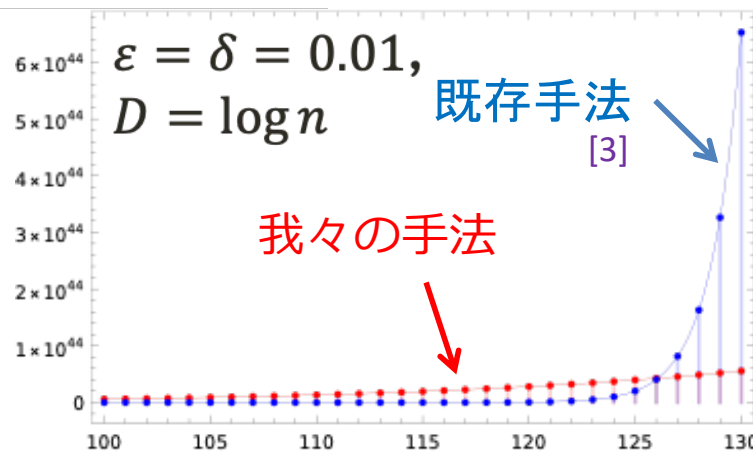
ε : 検証精度、 δ : 検証に失敗する確率

D : 2分割した出力にまたがる量子ゲートの数

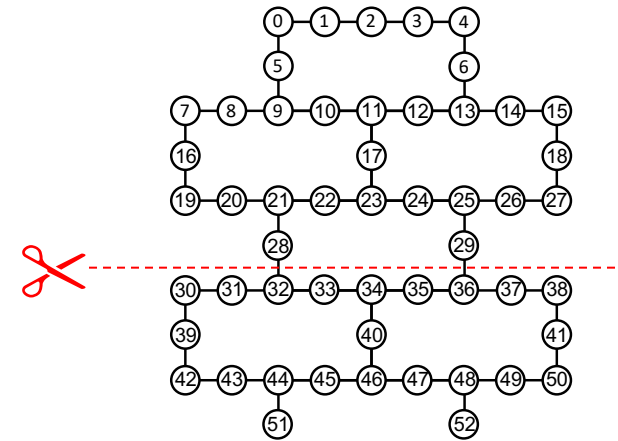
NISQコンピュータの場合、 $D = O(\log n)$

$$S = O\left(\frac{2^{12D}}{\varepsilon^6} \left(D + \log \frac{1}{\delta \varepsilon^4}\right)^3\right)$$

サンプル数 S



量子ビット数 n



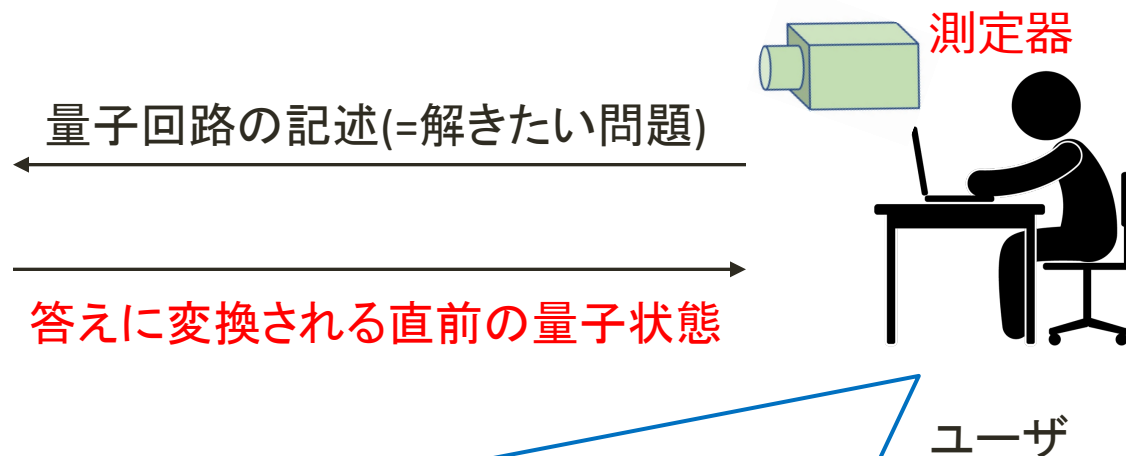
130量子ビットの場合、我々の手法は
800万倍以上少ないサンプル数で良い

まとめ

- 量子コンピュータは古典コンピュータ以上の計算能力を有することが数学的に示されている
- 「量子計算の検証」というソフトウェア技術を用いることで、信頼性が高いクラウド量子コンピュータシステムが実現出来る



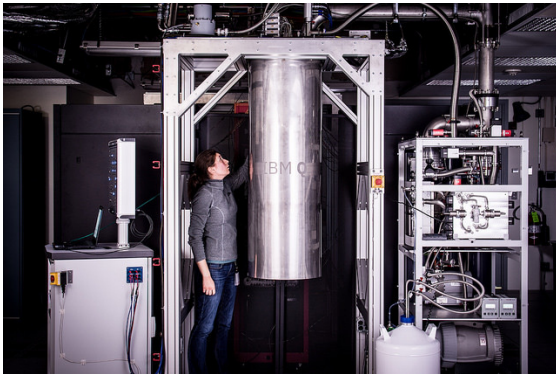
量子コンピュータサーバ



1. 測定器を用いて量子状態の検証を実行
2. 忠実度が高ければ、量子状態を測定し計算結果を出力
低ければ、サーバの量子コンピュータが正しく動作していないと判定

今後の展望

古典通信のみで量子コンピュータを検証することは可能か？



量子コンピュータサーバ

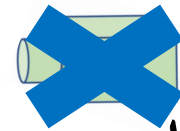
量子回路の記述(=解きたい問題)



古典ビット？



測定器不要？



ユーザ

今後の展望

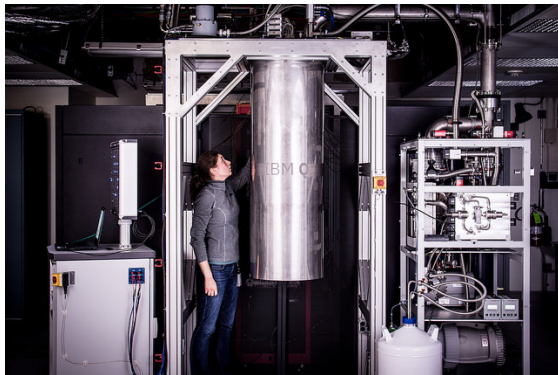
古典通信のみで量子コンピュータを検証することは可能か？

2018年のブレークスルー

計算量的な検証は古典通信のみで効率的に可能

Urmila Mahadev

[4]



量子コンピュータサーバ

(多項式時間の量子計算とみなせる
エラーしか発生しない)

量子回路の記述(=解きたい問題)

古典ビット

測定器不要



ユーザ

今後の展望

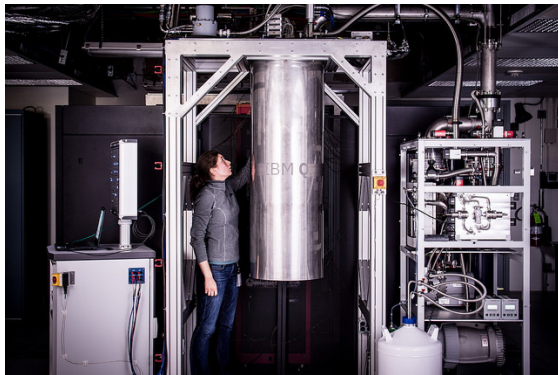
古典通信のみで量子コンピュータを検証することは可能か？

2018年のブレークスルー

計算量的な検証は古典通信のみで効率的に可能

Urmila Mahadev

[4]

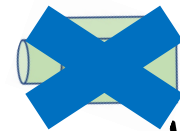


量子コンピュータサーバ

(多項式時間の量子計算とみなせる
エラーしか発生しない)

量子回路の記述(=解きたい問題)

古典ビット



測定器不要



ユーザ

分野の未解決問題

情報理論的な検証も古典通信で可能？

[4] <https://simons.berkeley.edu/people/urmila-mahadev>

ご静聴ありがとうございました😊